

Ostwald-Optimalfarben (o) von maximalem (m) C<sub>AB</sub> für D65, Y<sub>w</sub>=100, Y<sub>m</sub>=520\_770, CIELAB-Daten

i <sub>1</sub> , λ <sub>1</sub>	i <sub>2</sub> , λ <sub>2</sub>	L*100	a*100	b*100	C*ab	a'	b'	h <sub>ab</sub>	i <sub>d</sub> , λ <sub>d</sub>	i <sub>c</sub> , λ <sub>c</sub>	Code	%
0 405	32 561	80.85	-67.55	-32.54	74.98	0.1805	-0.1029	205.7	16 483	37 589	Cm	%
6 435	32 562	81.18	-81.89	-19.25	84.12	0.1732	-0.096	193.2	17 486	42 610	%	%
10 450	32 563	81.52	-109.06	11.43	109.66	0.1595	-0.0803	174.0	19 496	-1 496c	%	%
12 460	33 565	82.01	-120.74	33.26	125.23	0.1538	-0.0692	164.5	21 505	-1 505c	%	%
12 465	33 567	82.73	-118.76	34.5	123.67	0.1552	-0.0687	163.8	21 506	-1 506c	%	%
14 470	33 569	83.3	-123.47	57.53	136.22	0.1532	-0.0572	155.0	24 520	-1 520c	%	%
15 475	34 573	84.63	-118.73	70.39	138.03	0.1564	-0.0512	149.3	25 528	-1 528c	Gm	%
16 480	36 580	86.98	-107.21	84.2	136.33	0.1633	-0.0452	141.8	27 537	-1 537c	%	%
17 485	39 595	91.12	-80.53	100.07	128.45	0.1778	-0.0394	128.8	29 548	-1 548c	%	%
18 490	-1 490c	97.55	-23.15	119.05	121.28	0.2052	-0.0337	101.0	33 565	11 459	max	%
19 495	-1 495c	96.94	-20.63	125.42	127.1	0.2062	-0.0306	99.3	33 566	12 462	%	%
20 500	-1 500c	96.17	-17.33	131.15	132.29	0.2076	-0.0277	97.5	33 567	12 464	%	%
22 510	-1 510c	94.0	-8.24	140.17	140.41	0.2116	-0.0224	93.3	33 569	13 469	%	%
23 520	-1 519c	92.57	-2.53	142.99	143.01	0.2142	-0.0202	91.0	34 570	14 471	Ym	%
25 530	-1 529c	88.94	10.79	144.39	144.79	0.2205	-0.0165	85.7	34 573	15 475	%	%
27 540	-1 539c	84.43	25.54	141.4	143.69	0.2281	-0.0134	79.7	35 577	15 478	%	%
28 545	-1 544c	81.91	33.05	138.34	142.24	0.2322	-0.0121	76.5	35 579	15 479	%	%
29 550	-1 549c	79.2	40.58	134.51	140.5	0.2367	-0.0111	73.2	36 582	16 480	%	%
30 555	-1 554c	76.32	47.96	130.1	138.66	0.2413	-0.0103	69.7	36 584	16 481	%	%
32 560	-1 560c	70.18	61.63	120.13	135.02	0.2511	-0.0093	62.8	37 589	16 483	%	%
380	770	100.0	0.0	0.0	0.0	0.2154	-0.0861	0.0			%	%

Ostwald-Optimalfarben (o) von maximalem (m) C<sub>AB</sub> für D65, Y<sub>w,10</sub>=100, Y<sub>m</sub>=520\_770, CIELAB-Daten

i <sub>1</sub> , λ <sub>1</sub>	i <sub>2</sub> , λ <sub>2</sub>	L*100	a*100	b*100	C*ab	a'	b'	h <sub>ab</sub>	i <sub>d</sub> , λ <sub>d</sub>	i <sub>c</sub> , λ <sub>c</sub>	Code	%
0 405	31 556	79.94	-66.31	-34.08	74.56	0.1807	-0.1034	207.2	15 476	37 585	Cm	%
6 435	31 557	80.42	-82.6	-17.8	84.5	0.1724	-0.0949	192.1	16 480	44 621	%	%
10 450	31 559	80.48	-108.29	14.97	109.32	0.1591	-0.078	172.1	18 491	-1 491c	%	%
11 460	32 562	81.44	-111.37	27.39	114.69	0.1581	-0.0717	166.1	19 498	-1 498c	%	%
12 465	33 565	82.34	-112.77	40.26	119.75	0.1579	-0.0653	160.3	21 506	-1 506c	%	%
14 470	34 570	83.48	-109.79	65.41	127.8	0.1601	-0.053	149.2	24 522	-1 522c	%	%
15 475	35 579	86.33	-94.64	81.3	124.77	0.169	-0.0462	139.3	26 533	-1 533c	Gm	%
16 480	41 606	92.55	-53.33	102.14	115.22	0.1907	-0.0389	117.5	30 550	-1 550c	%	%
16 485	-1 484c	96.94	-20.21	109.71	111.55	0.2063	-0.0374	100.4	32 560	10 454	%	%
18 490	-1 490c	95.61	-14.83	124.45	125.34	0.2086	-0.0302	96.7	32 562	11 459	max	%
19 495	-1 495c	94.76	-11.22	130.34	130.82	0.2101	-0.0271	94.9	32 563	12 461	%	%
19 500	-1 499c	94.76	-11.22	130.34	130.82	0.2101	-0.0271	94.9	32 563	12 461	%	%
22 510	-1 510c	91.28	2.92	142.55	142.58	0.2166	-0.0195	88.8	33 567	13 466	%	%
23 520	-1 519c	89.77	8.54	144.07	144.32	0.2192	-0.0174	86.6	33 568	13 468	Ym	%
26 530	-1 530c	84.06	27.32	142.33	144.93	0.2288	-0.0115	79.1	34 573	14 472	%	%
27 540	-1 539c	81.79	33.86	139.63	143.68	0.2325	-0.0095	76.3	35 576	14 473	%	%
28 545	-1 544c	79.35	40.37	136.19	142.05	0.2363	-0.0075	73.4	35 578	14 474	%	%
29 550	-1 549c	76.75	46.79	132.12	140.16	0.2404	-0.0054	70.4	36 580	15 475	%	%
31 555	-1 555c	71.13	58.79	122.64	136.0	0.2489	0.0	64.3	37 586	15 476	%	%
32 560	10 451	69.5	84.42	-15.9	85.9	0.2645	-0.095	349.3	-1 492c	18 492	%	%
380	770	100.0	0.0	0.0	0.0	0.2152	-0.0857	0.0			%	%

Ostwald-Optimalfarben (o) von maximalem (m) C<sub>AB</sub> für D65, Y<sub>w</sub>=100, Y<sub>m</sub>=770\_520, CIELAB komplementär%

i <sub>1</sub> , λ <sub>1</sub>	i <sub>2</sub> , λ <sub>2</sub>	L*100	a*100	b*100	C*ab	a'	b'	h <sub>ab</sub>	i <sub>d</sub> , λ <sub>d</sub>	i <sub>c</sub> , λ <sub>c</sub>	Code	%
32 561	0 405	70.73	60.88	110.08	125.79	0.2505	-0.022	61.0	37 589	16 483	Rm	%
32 562	6 435	70.32	70.58	34.83	78.71	0.2562	-0.0659	26.2	42 610	17 486	%	%
32 563	10 450	69.88	85.85	-12.65	86.78	0.2653	-0.0935	351.6	-1 496c	19 496	%	%
33 565	12 460	69.24	92.89	-29.55	97.48	0.2698	-0.1035	342.3	-1 505c	21 505	%	%
33 567	12 465	68.27	94.84	-31.22	99.85	0.2716	-0.1046	341.7	-1 506c	21 506	%	%
33 569	14 470	67.49	99.24	-42.98	108.15	0.2748	-0.1119	336.5	-1 520c	24 520	%	%
34 573	15 475	65.52	102.87	-49.85	114.31	0.2784	-0.1167	334.1	-1 528c	25 528	Mm	%
36 580	16 480	61.69	107.96	-59.02	123.05	0.2848	-0.1241	331.3	-1 537c	27 537	%	%
39 595	17 485	53.22	112.99	-75.47	135.88	0.297	-0.1406	326.2	-1 548c	29 548	%	%
-1 490c	18 490	29.91	89.01	-117.0	147.01	0.3124	-0.2136	307.2	11 459	33 565	min	%
-1 495c	19 495	33.36	74.42	-112.09	134.55	0.2908	-0.1997	303.5	12 462	33 566	%	%
-1 500c	20 500	37.09	58.44	-106.44	121.43	0.2704	-0.1864	298.7	12 464	33 567	%	%
-1 510c	22 510	45.26	23.9	-93.37	96.38	0.2349	-0.1623	284.3	13 469	33 569	%	%
-1 519c	23 520	49.52	6.76	-86.32	86.58	0.2205	-0.152	274.4	14 471	34 570	Bm	%
-1 529c	25 530	58.0	-23.98	-72.06	75.95	0.1992	-0.1348	251.5	15 475	34 573	%	%
-1 539c	27 540	65.83	-46.7	-58.75	75.05	0.1868	-0.122	231.5	15 478	35 577	%	%
-1 544c	28 545	69.38	-54.68	-52.68	75.93	0.1833	-0.117	223.9	15 479	35 579	%	%
-1 549c	29 550	72.72	-60.59	-46.95	76.65	0.1812	-0.1126	217.7	16 480	36 582	%	%
-1 554c	30 555	75.82	-64.5	-41.62	76.77	0.1803	-0.1088	212.8	16 481	36 584	%	%
-1 560c	32 560	81.29	-66.96	-32.22	74.32	0.181	-0.1027	205.6	16 483	37 589	%	%
380	770	100.0	0.0	0.0	0.0	0.2154	-0.0861	0.0			%	%

Ostwald-Optimalfarben (o) von maximalem (m) C<sub>AB</sub> für D65, Y<sub>w,10</sub>=100, Y<sub>m</sub>=770\_520, CIELAB komplementär%

i <sub>1</sub> , λ <sub>1</sub>	i <sub>2</sub> , λ <sub>2</sub>	L*100	a*100	b*100	C*ab	a'	b'	h <sub>ab</sub>	i <sub>d</sub> , λ <sub>d</sub>	i <sub>c</sub> , λ <sub>c</sub>	Code	%
31 556	0 405	71.84	57.81	111.35	125.47	0.2481	-0.0221	62.5	37 585	15 476	Rm	%
31 557	6 435	71.27	68.77	29.56	74.85	0.2546	-0.0689	23.2	44 621	16 480	%	%
31 559	10 450	71.19	81.9	-15.15	83.29	0.2621	-0.0944	349.5	-1 491c	18 491	%	%
32 562	11 460	69.98	86.63	-25.22	90.23	0.2655	-0.1003	343.7	-1 498c	19 498	%	%
33 565	12 465	68.81	90.56	-33.85	96.68	0.2685	-0.1056	339.5	-1 506c	21 506	%	%
34 570	14 470	67.22	93.6	-46.01	104.3	0.2714	-0.1132	333.8	-1 522c	24 522	%	%
35 579	15 475	62.81	97.27	-56.68	112.58	0.2768	-0.1215	329.7	-1 533c	26 533	Mm	%
41 606	16 480	49.57	94.8	-81.7	125.15	0.2874	-0.1477	319.2	-1 550c	30 550	%	%
-1 484c	16 485	33.36	73.3	-109.63	131.88	0.2894	-0.1962	303.7	10 454	32 560	%	%
-1 490c	18 490	39.48	47.93	-101.69	112.42	0.2584	-0.1769	295.2	11 459	32 562	min	%
-1 495c	19 495	42.69	34.2	-96.93	102.79	0.2443	-0.1679	289.4	12 461	32 563	%	%
-1 499c	19 500	42.69	34.2	-96.93	102.79	0.2443	-0.1679	289.4	12 461	32 563	%	%
-1 510c	22 510	52.84	-7.33	-80.67	81.0	0.2099	-0.144	264.8	13 466	33 567	%	%
-1 519c	23 520	56.28	-19.89	-74.95	77.55	0.2014	-0.1373	255.1	13 468	33 568	Bm	%
-1 530c	26 530	66.39	-49.47	-57.84	76.11	0.1852	-0.1206	229.4	14 472	34 573	%	%
-1 539c	27 540	69.54	-55.96	-52.46	76.71	0.1825	-0.1162	223.1	14 473	35 576	%	%
-1 544c	28 545	72.53	-60.74	-47.32	77.0	0.1809	-0.1123	217.9	14 474	35 578	%	%
-1 549c	29 550	75.38	-63.87	-42.44	76.68	0.1803	-0.1088	213.6	15 475	36 580	%	%
-1 555c	31 555	80.53	-65.58	-33.56	73.67	0.1813	-0.103	207.1	15 476	37 586	%	%
10 451	32 560	81.82	-103.91	14.76	104.95	0.1621	-0.0782	171.9	18 492	-1 492c	%	%
380	770	100.0	0.0	0.0	0.0	0.2152	-0.0857	0.0			%	%

Siehe ähnliche Dateien: <http://130.149.60.45/~farbmetrik/VG42/VG42LONA.TXT> / .PS; Transfer Ausgabe  
Technische Information: <http://www.ps.bam.de> oder <http://130.149.60.45/~farbmetrik>

TUB-Registrierung: 20130201-VG42/VG42LONA.TXT / .PS  
Anwendung für Messung von Display-Ausgabe, keine Separation  
TUB-Material: Code=rh4ta

rgb<sup>b</sup><sub>cab</sub>- und CIE-Daten eines Elementar-Bunttonkreises nach CIE R1-47 für Ostwald-Farben für CIE-Lichtart D65

Yxy, abc<sub>AB</sub>, ABC<sub>AB</sub>, Lab<sup>C</sup><sub>ab</sub>, h<sub>ab</sub>-Daten für relative Stufung des Elementarbunttonkreises h<sub>ab</sub> von CIELAB für CIE-2-Grad Beobachter

Elementar-Bunttonkreis mit 4 Ziel-Elementar-Bunttonwinkeln: h<sub>ab</sub> = 25.6, 92.4, 162.1, 271.5 von CIELAB und 90 Ziel-Bunttonwinkeln:

000, 001, ..., 089, CIELAB-Daten CIE-Testfarben 9 (R): 40.0 58.9 28.3, 10 (Y): 81.3 -3.0 71.8, 11 (G): 52.2 -42.3 13.6, 12 (B): 30.5 1.2 -46.3

Table with 25 columns: no-ab, Y, x, y, a, b, cAB, A, B, CAB, hAB, L\*, a\*, b\*, C\*ab, hAB, rgb<sup>b</sup><sub>cab</sub>, Code<sub>ab</sub>. It contains 90 rows of data for various color samples.

CIEXY-Daten of CIE-Testfarben 9 (R): 20.0 11.2 4.3, 10 (Y): 54.8 58.9 12.0, 11 (G): 12.1 20.3 15.3, 12 (B): 6.2 6.4 27.6

rgb<sup>b</sup><sub>cab</sub>- und CIE-Daten eines Elementar-Bunttonkreises nach CIE R1-47 für Ostwald-Farben für CIE-Lichtart D65

Yxy, abc<sub>AB</sub>, ABC<sub>AB</sub>, Lab<sup>C</sup><sub>ab</sub>, h<sub>ab</sub>-Daten für relative Stufung des Elementarbunttonkreises h<sub>ab</sub> von CIELAB für CIE-10-Grad Beobachter

Elementar-Bunttonkreis mit 4 Ziel-Elementar-Bunttonwinkeln: h<sub>ab</sub> = 25.9, 87.3, 158.8, 252.1 von CIELAB und 90 Ziel-Bunttonwinkeln:

000, 001, ..., 089, CIELAB-Daten CIE-Testfarben 9 (R): 39.2 54.5 26.4, 10 (Y): 79.5 3.2 71.0, 11 (G): 52.3 -39.6 15.3, 12 (B): 33.6 -12.8 -39.9

Table with 25 columns: no-ab, X00, x10, y10, a10, cAB,10, A10, B10, CAB,10, hAB,10, L\*10, a\*10, b\*10, C\*ab,10, hAB,10, rgb<sup>b</sup><sub>cab,10</sub>, Code<sub>ab,10</sub>. It contains 90 rows of data for various color samples.

CIEXY-Daten of CIE-Testfarben 9 (R): 19.0 10.8 4.3, 10 (Y): 54.3 55.9 11.0, 11 (G): 12.5 20.4 14.4, 12 (B): 6.1 7.8 26.5

Stehet ähnliche Dateien: http://130.149.60.45/~farbmetrik/VG42/VG42L0NA.TXT /.PS Technische Information: http://www.ps.bam.de oder http://130.149.60.45/~farbmetrik

TUB-Registrierung: 20130201-VG42/VG42L0NA.TXT /.PS TUB-Material: Code=rha41a Anwendung für Messung von Display-Ausgabe, keine Separation

Technische Information: http://130.149.60.45/~farbmetrik/VG42/VG42L0NA.TXT /PS  
Siehe ähnliche Dateien: http://130.149.60.45/~farbmetrik/VG42/VG42L0NA.TXT /PS  
Anwendung für Messung von Display-Ausgabe, keine Separation

TUB-Registrierung: 20130201-VG42VVG42L0NA.TXT /PS  
TUB-Material: Code=rha4ta

**rgb<sup>cab</sup><sub>cab</sub>- und CIE-Daten eines Elementar-Bunttonkreises nach CIE R1-47 für Ostwald-Farben für CIE-Lichtart D65**

**X<sub>xy</sub>, abc<sub>AB</sub>, ABC<sub>AB</sub>, Lab<sup>C<sub>ab</sub></sup><sub>ab</sub>, h<sub>ab</sub>-Daten für relative Stufung des Elementarbunttonkreises h<sub>ab</sub> von CIELAB für CIE-2-Grad Beobachter**

**Elementar-Bunttonkreise mit 4 Ziel-Elementar-Bunttonwinkeln: h<sub>ab</sub> = 25.6, 92.4, 162.1, 271.5 von CIELAB und 90 Ziel-Bunttonwinkeln:**

**090, 091, ..., 179, CIELAB-Daten CIE-Testfarben Y (R): 40.0 58.9 28.3, 10 (Y): 81.3 -3.0 71.8, 11 (G): 52.2 -42.3 13.6, 12 (B): 30.5 1.2 -46.3**

Table with columns: no-ab, X0, x, y, a, b, C\_AB, h\_AB, L\*, a\*, b\*, C\*\_ab, h\*\_ab, rgb\*\_cab, Code\_ab. Rows 090 to 179.

**CIEXYZ-Daten von CIE-Testfarben Y (R): 20.6 11.2 4.3, 10 (Y): 54.8 59.0 12.0, 11 (G): 12.1 20.3 15.3, 12 (B): 6.2 6.4 27.6**

**rgb<sup>cab</sup><sub>cab</sub>- und CIE-Daten eines Elementar-Bunttonkreises nach CIE R1-47 für Ostwald-Farben für CIE-Lichtart D65**

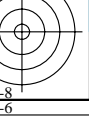
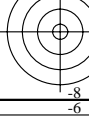
**X<sub>xy</sub>, abc<sub>AB</sub>, ABC<sub>AB</sub>, Lab<sup>C<sub>ab</sub></sup><sub>ab</sub>, h<sub>ab</sub>-Daten für relative Stufung des Elementarbunttonkreises h<sub>ab</sub> von CIELAB für CIE-10-Grad Beobachter**

**Elementar-Bunttonkreise mit 4 Ziel-Elementar-Bunttonwinkeln: h<sub>ab</sub> = 25.9, 87.3, 158.8, 252.1 von CIELAB und 90 Ziel-Bunttonwinkeln:**

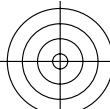
**090, 091, ..., 179, CIELAB-Daten CIE-Testfarben Y (R): 39.2 54.5 26.4, 10 (Y): 79.5 3.2 71.0, 11 (G): 52.3 -39.6 15.3, 12 (B): 33.6 -12.8 -39.9**

Table with columns: no-ab, X0, x, y, a, b, C\_AB, h\_AB, L\*, a\*, b\*, C\*\_ab, h\*\_ab, rgb\*\_cab, Code\_ab. Rows 090 to 179.

**CIEXYZ-Daten von CIE-Testfarben Y (R): 19.0 10.8 4.3, 10 (Y): 54.3 55.9 11.0, 11 (G): 12.5 20.4 14.4, 12 (B): 6.1 7.0 26.5**



http://130.149.60.45/~farbmetrik/WG42/VG42L0NA.TXT /.PS; Transfer Ausgabe  
N: Keine 3D-Linearisierung (OL) in Datei (F) oder PS-Startup (S), Seite 4/5

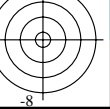
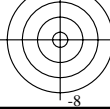


Stehende ähnliche Dateien: <http://130.149.60.45/~farbmetrik/WG42/VG42L0NA.TXT>  
Technische Information: <http://www.ps.bam.de> oder <http://130.149.60.45/~farbmetrik>

TUB-Registrierung: 20130201-VG42/WG42L0NA.TXT /.PS TUB-Material: Code=rha4ta  
Anwendung für Messung von Display-Ausgabe, keine Separation

Table with 19 columns: no-ab, Y, x, y, a, b, CAB, HAB, L\*, a\*\*, b\*\*, C\*\*ab, hab, rgb\*\*cab, Codeab. It contains two main data blocks, one for CIE1931 and one for CIE94, each listing colorimetric data for various color patches.

Table with 19 columns: no-ab, X0, Y0, x0, y0, a10, b10, CAB10, HAB10, L\*10, a\*\*10, b\*\*10, C\*\*ab10, hab10, rgb\*\*cab10, Codeab10. It contains two main data blocks, one for CIE1931 and one for CIE94, listing colorimetric data for various color patches.



TUB-Prüfvorlage VG42; CIE-Daten für 360 Ostwald-Farben Eingabe: w/rgb/cmyk ->  
CIE Lab, Yxy, YABCab, LabCabh-Daten, D65, 2- und 10-Grad-Beobachter

rgb<sup>abn</sup>- und CIE-Daten eines Elementar-Bunttonkreises nach CIE R1-47 für Ostwald-Farben für CIE-Lichtart D65

X<sub>xy</sub>, abc<sub>AB</sub>, ABC<sub>AB</sub>, Lab<sup>C<sub>ab</sub></sup><sub>ab</sub>-Daten für relative Stufung des Elementarbunttons h<sub>ab</sub> von CIELAB für CIE-2-Grad Beobachter

Elementar-Bunttonkreis mit 4 Ziel-Elementar-Bunttonwinkeln: h<sub>ab</sub> = 25.6, 92.4, 162.1, 271.5 von CIELAB und 90 Ziel-Bunttonwinkeln:

(Y): 27.21, ..., 360, CIELAB-Daten CIE-Testfarben Y (R): 40.0 58.9 28.3, 10 (Y): 81.3 -3.0 71.8, 11 (G): 52.2 -42.3 13.6, 12 (B): 30.5 1.2 -46.3

Table with columns: no-ab, X00, x10, y10, a10, b10, cAB,10, A10, B10, C\_AB,10, H\_AB,10, L\*\_10, a\*\_10, b\*\_10, C\*\_ab,10, h\_ab,10, rgb\*\_cab,10, Code\_ab,10. The table contains 90 rows of data for different color points.

CIEXYZ-Daten von CIE-Testfarben Y (R): 20.0 11.2 4.3, 10 (Y): 54.8 59.0 12.0, 11 (G): 12.1 20.3 15.3, 12 (B): 6.1 6.2 42.6

rgb<sup>abn</sup>- und CIE-Daten eines Elementar-Bunttonkreises nach CIE R1-47 für Ostwald-Farben für CIE-Lichtart D65

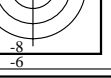
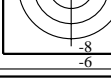
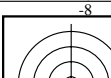
X<sub>xy</sub>, abc<sub>AB</sub>, ABC<sub>AB</sub>, Lab<sup>C<sub>ab</sub></sup><sub>ab</sub>-Daten für relative Stufung des Elementarbunttons h<sub>ab</sub> von CIELAB für CIE-10-Grad Beobachter

Elementar-Bunttonkreis mit 4 Ziel-Elementar-Bunttonwinkeln: h<sub>ab</sub> = 25.9, 87.3, 158.8, 252.1 von CIELAB und 90 Ziel-Bunttonwinkeln:

(Y): 27.21, ..., 360, CIELAB-Daten CIE-Testfarben Y (R): 39.2 54.5 26.4, 10 (Y): 79.5 3.2 71.0, 11 (G): 52.3 -39.6 15.3, 12 (B): 33.6 -12.8 -39.9

Table with columns: no-ab, X00, x10, y10, a10, b10, cAB,10, A10, B10, C\_AB,10, H\_AB,10, L\*\_10, a\*\_10, b\*\_10, C\*\_ab,10, h\_ab,10, rgb\*\_cab,10, Code\_ab,10. The table contains 90 rows of data for different color points.

CIEXYZ-Daten von CIE-Testfarben Y (R): 19.0 10.8 4.3, 10 (Y): 54.3 55.9 11.0, 11 (G): 12.5 20.4 14.4, 12 (B): 6.1 7.8 26.5



Siehe ähnliche Dateien: http://130.149.60.45/~farbmetrik/WG42/VG42L0NA.TXT /PS Technische Information: http://www.ps.bam.de oder http://130.149.60.45/~farbmetrik

TUB-Registrierung: 20130201-VG42/WG42L0NA.TXT /PS TUB-Material: Code=rha4ra Anwendung für Messung von Display-Ausgabe, keine Separation